

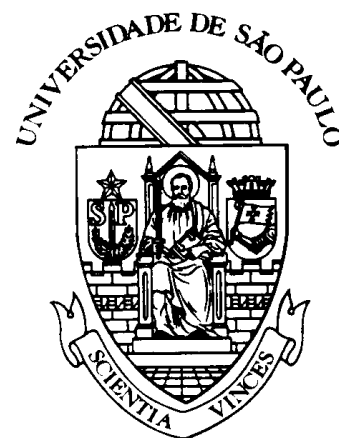
# Dinâmica, enovelamento e alosteria de proteínas

*Guilherme Menegon Arantes*

*Instituto de Química  
Universidade de São Paulo*

[garantes@iq.usp.br](mailto:garantes@iq.usp.br)

<http://gaznevada.iq.usp.br>

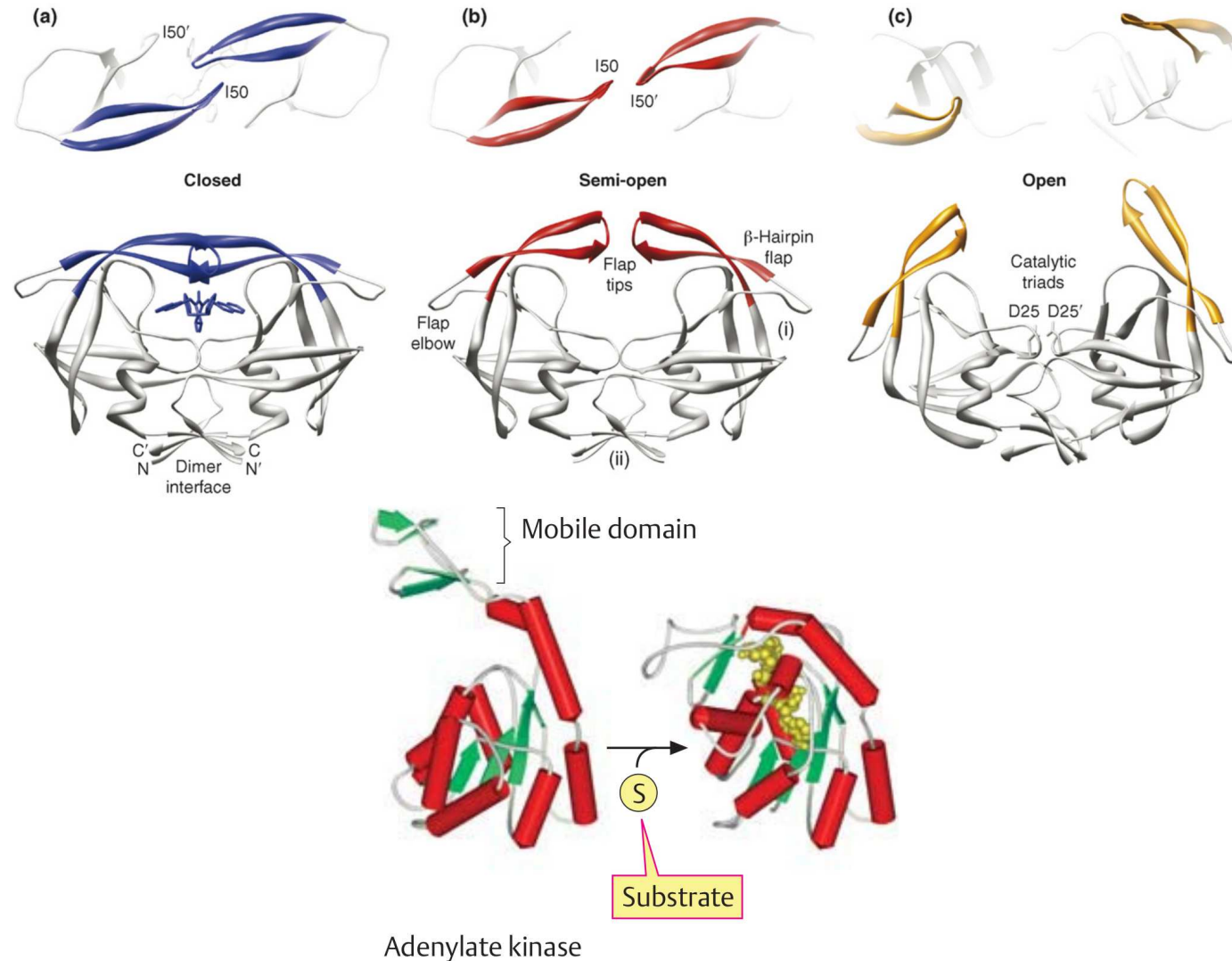


## Resumo da aula

- Dinâmica molecular e física estatística
- Escalas de dinâmica conformacional
- Enovelamento de proteínas
- Estrutura e função biológica intrinsecamente ligadas
- Um exemplo clássico: Hemoglobina
  - Função: transporte de O<sub>2</sub>
  - Modulação da afinidade por ligantes
- Alosteria e cooperatividade

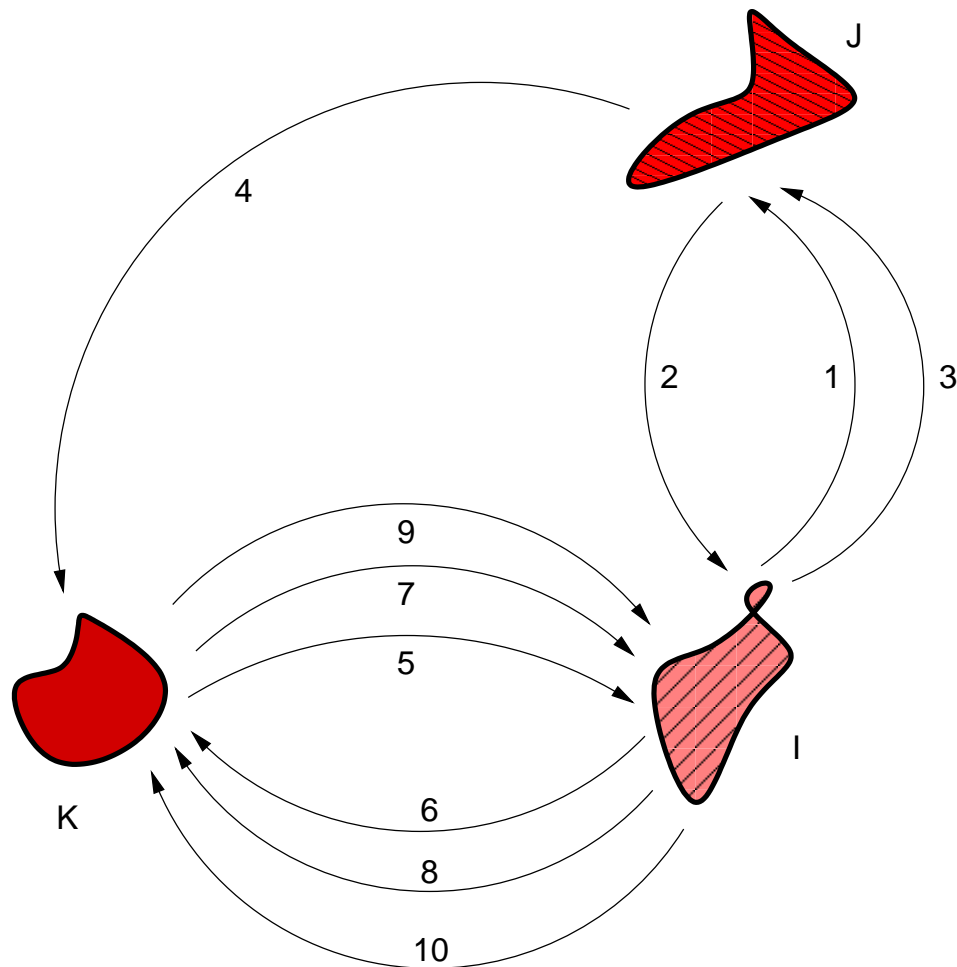


# Proteínas tem estrutura flexível



## Dinâmica Molecular

- Técnica para explorar superfície potencial e visitar geometrias possíveis



## Dinâmica Molecular

- Trajetórias (sucessão de estruturas no tempo) são geradas pela integração da eq. de Newton:

$$m_i \frac{\partial^2 \mathbf{r}_i}{\partial t^2} = \vec{F}_i$$

- Exemplo de trajetória (10 eventos):  
 $I \rightarrow J \rightarrow I \rightarrow J \rightarrow K \rightarrow I \rightarrow K \rightarrow I \rightarrow K \rightarrow I \rightarrow K$
- Probabilidades ( $p_i$ ) determinadas por simples contagem!  
Ex:  $p_I = 4/10$ ,  $p_J = 2/10$  e  $p_K = 4/10$ .
- **Pergunta:** Quais estados de maior e menor energia?
- Como propriedades das configurações são fáceis de obter  
(Ex:  $E_I$  é dado pelo potencial), podemos calcular  $\langle W \rangle$

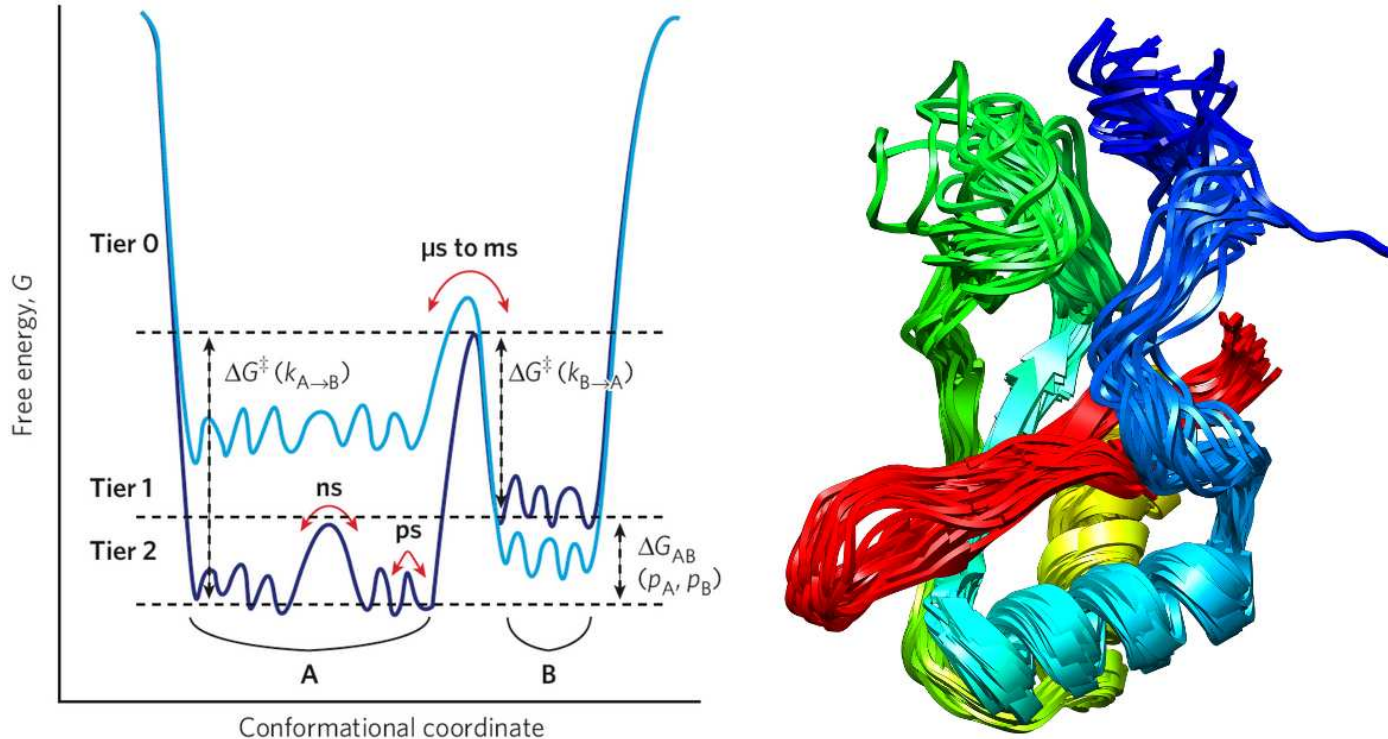


## Mecânica Estatística

- Conexão entre propriedades microscópicas (moléculas) e medidas macroscópicas (termodinâmica)
- $\langle W \rangle = \sum_i p_i W_i$ , onde  $W_i$  é uma propriedade microscópica qualquer.  $\langle W \rangle$  é o valor médio, medido no experimento.
- Simples média ponderada sobre possíveis configurações  $i$ .  
 $p_i \propto e^{-E_i}$  são probabilidades (Fator de Boltzmann)
- Ex: Proteína tem 3 possíveis conformações:  $I$ ,  $J$  e  $K$ . A energia média ( $\equiv U$ , energia interna) é  
$$\langle E \rangle = p_I E_I + p_J E_J + p_K E_K$$



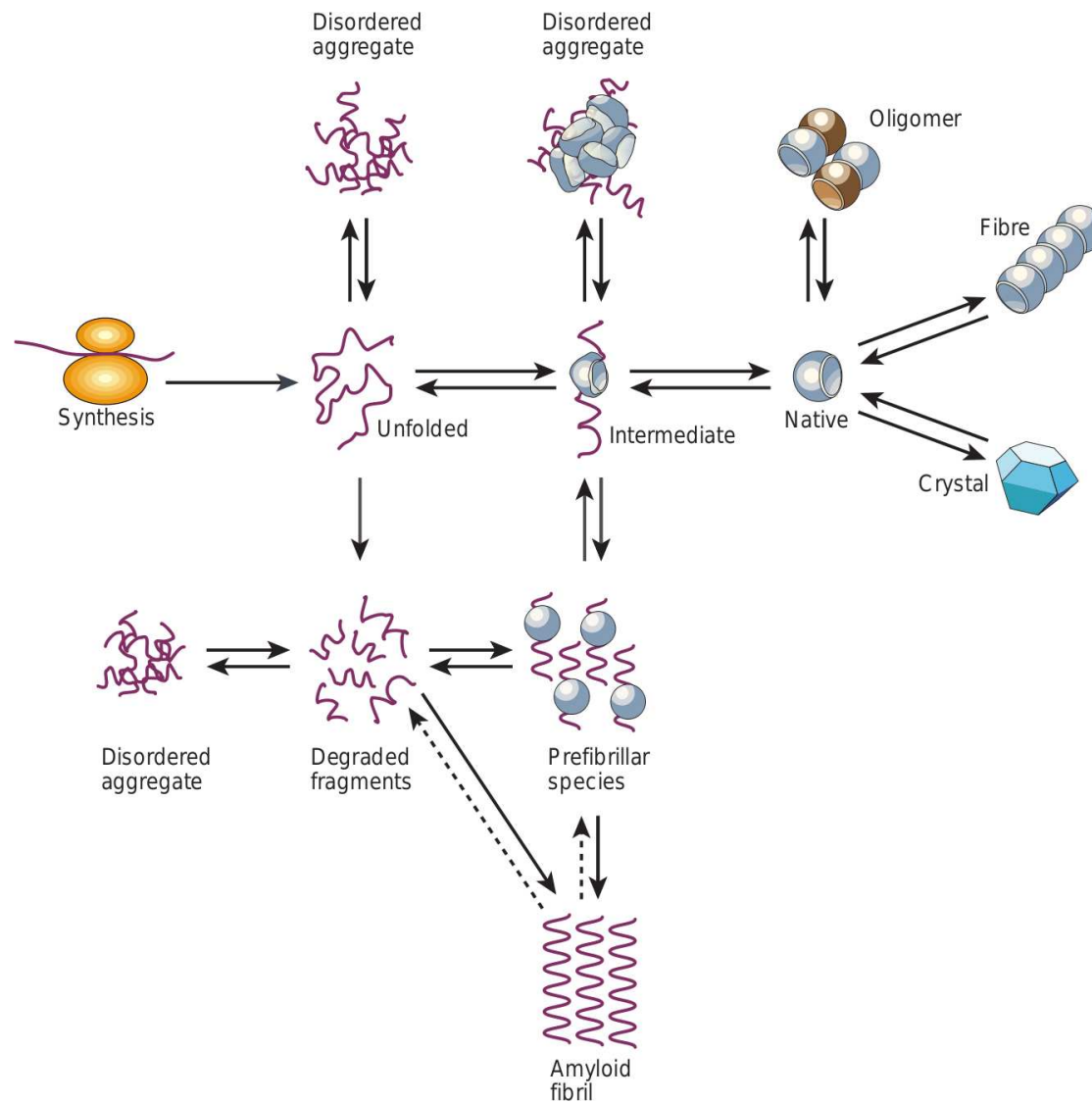
# Dinâmica conformacional de proteínas



H transfer/H bonding		Ligand binding	
Libration		Catalysis	
Vibration	Rotational diffusion	Folding/unfolding	
	Side-chain rotation	Allosteric regulation	
$10^{-15}$		$10^3$ s	
$10^{-12}$	$10^{-9}$	$10^{-6}$	$10^{-3}$
$10^0$			

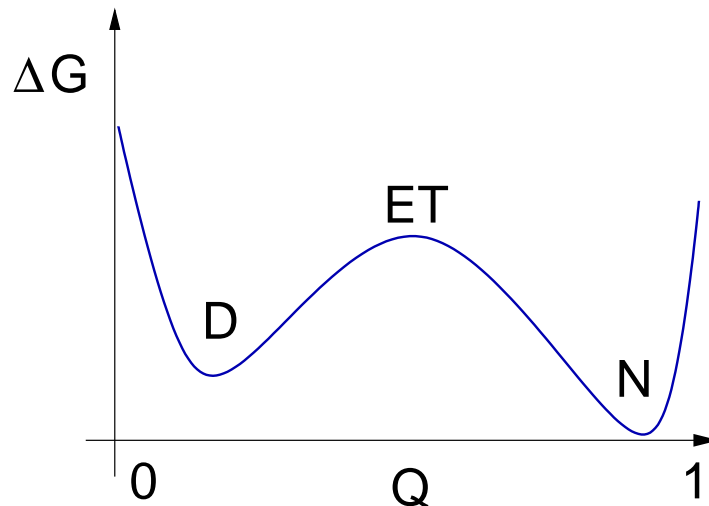


# Possíveis “destinos” de uma proteína



## Enovelamento de proteínas

- Proteínas globulares ( $\sim 100$  aa.) (re)enovelam *in vitro*.  
Logo, estado Nativo ( $N$ ) deve ser mínimo de energia livre
- 2 estados:  $D \rightleftharpoons N$ ,  $\Delta G_{enov} \approx 5 - 10$  kcal/mol
- Sequência 1<sup>a</sup>  $\rightarrow$  Estrutura 3D única e definida
- **Dois problemas do enovelamento:**
  - Dada uma sequência, prever qual a estrutura 3D (vejam trabalhos do David Baker, Rosetta)
  - Qual o mecanismo (intermediários, TS, transições)?

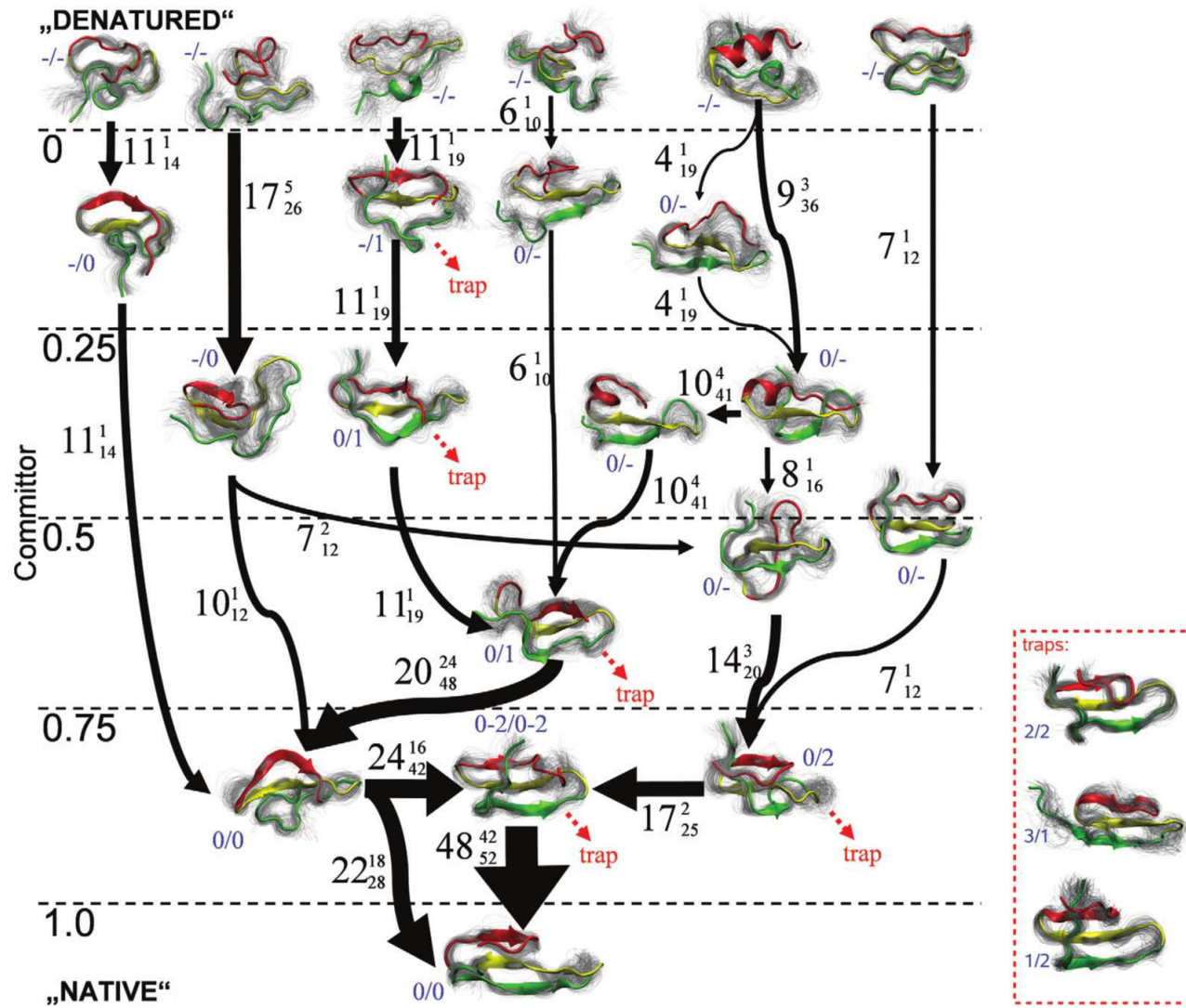


## Enovelamento: Paradoxo de Levinthal (1968)

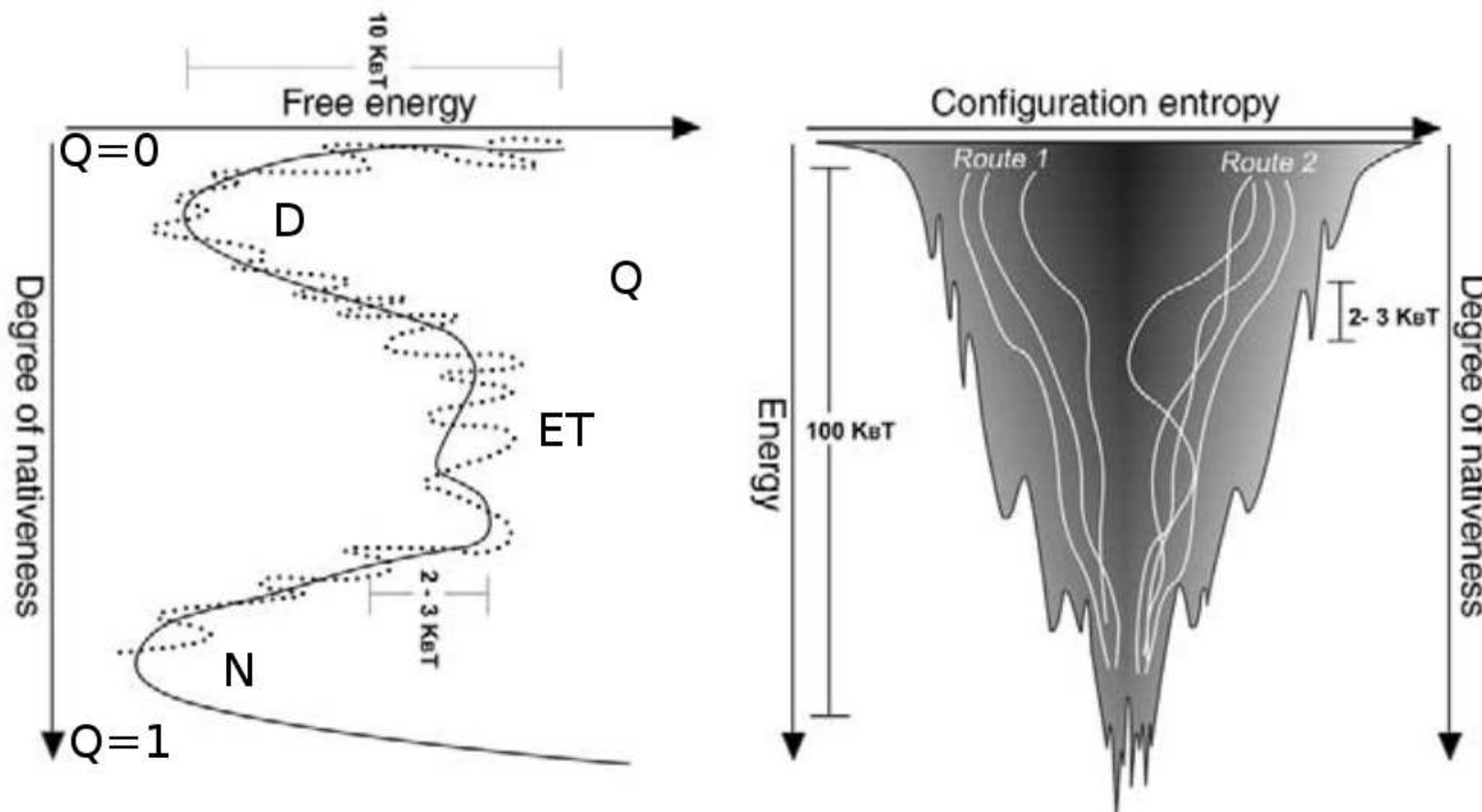
- Número imenso de possibilidades conformacionais
- Exemplo: Proteína com 100 aa. 3 geometrias por aa (pouco, estima-se 5-10).  
$$3^N = 3^{100} \approx 10^{48}$$
 configurações!
- Caso  $10^{12}$  conformações sejam amostradas (visitadas) por segundo, procura por todos estados demoraria  $10^{36}$ s. Mas universo tem “só”  $10^{18}$ s de existência!!!
- Solução: Interações → transições → enovelamento



# Enovelamento: Exemplo do domínio PinWW



# Enovelamento: Superfícies e funis de energia

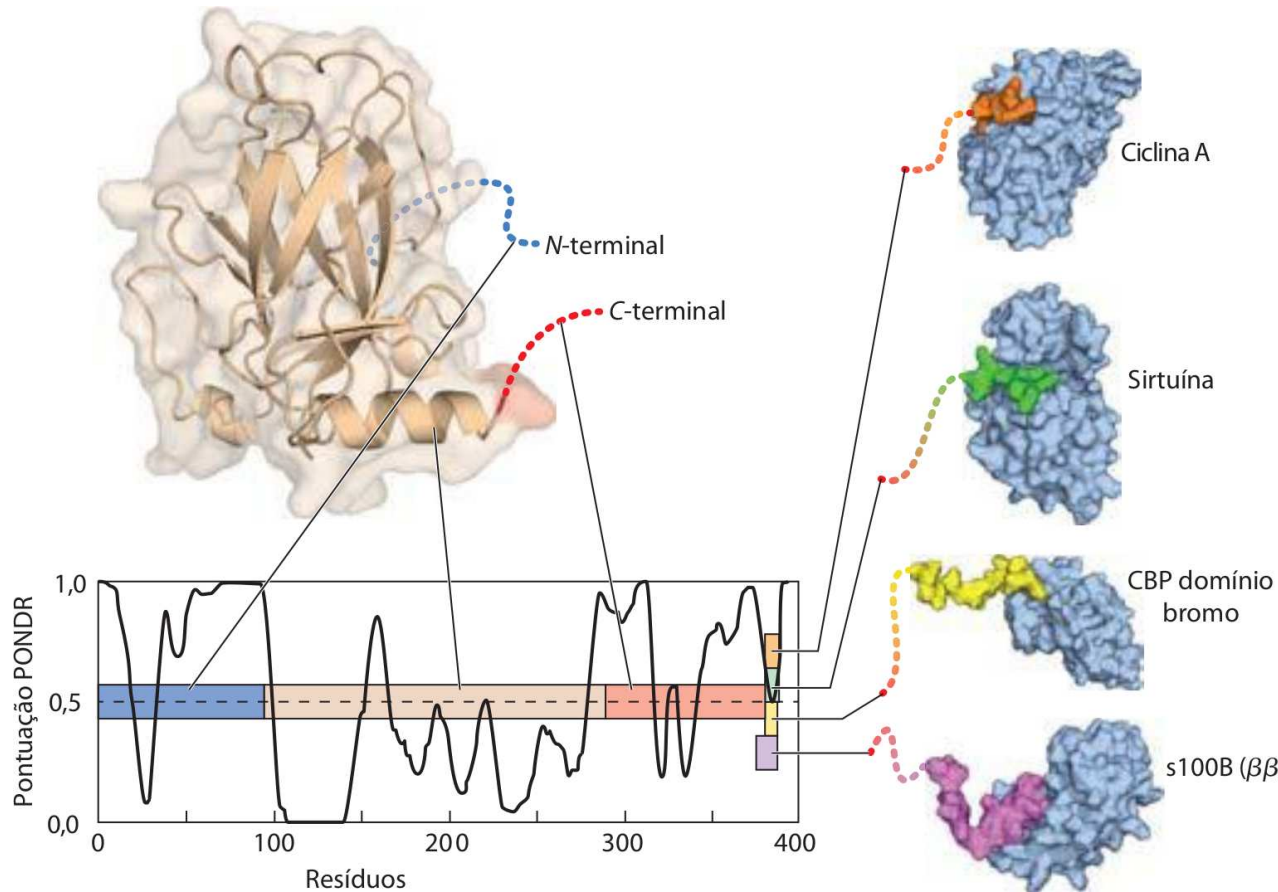


$$\Delta G_{enov} \approx \underbrace{\Delta H_{enov}}_{\downarrow\downarrow} - \underbrace{T\Delta S_{solv}}_{\downarrow} - \underbrace{T\Delta S_{conf}}_{\uparrow\uparrow}$$



## Muitas proteínas ( $\sim 25\%$ ) são desordenadas

- Em regiões terminais (como a p53 abaixo) ou inteiras
- Podem precisar de “chaperonas” que ajudam a enovelar



## Relação estrutura–função em bioquímica

- Dogma central: Estrutura  $\rightleftharpoons$  Mecanismo  $\rightleftharpoons$  Função
- Exemplo: Mioglobina (Mb) e Hemoglobina (Hb)
- Ambas com estrutura monomérica semelhante (vejamos).  
São carregadoras de  $O_2$ , que liga-se ao heme
- Dado equilíbrio  $Mb + O_2 \rightleftharpoons Mb \cdot O_2$ , temos:

$$K_d = \frac{[Mb][O_2]}{[MbO_2]}$$

$$\theta \equiv \frac{\text{sitios ocupados}}{\text{total de sitios}} = \frac{[MbO_2]}{[MbO_2] + [Mb]} = \frac{[O_2]}{[O_2] + K_d}$$

- Vejamos como varia  $\theta \times [O_2]$  para Mb e Hb

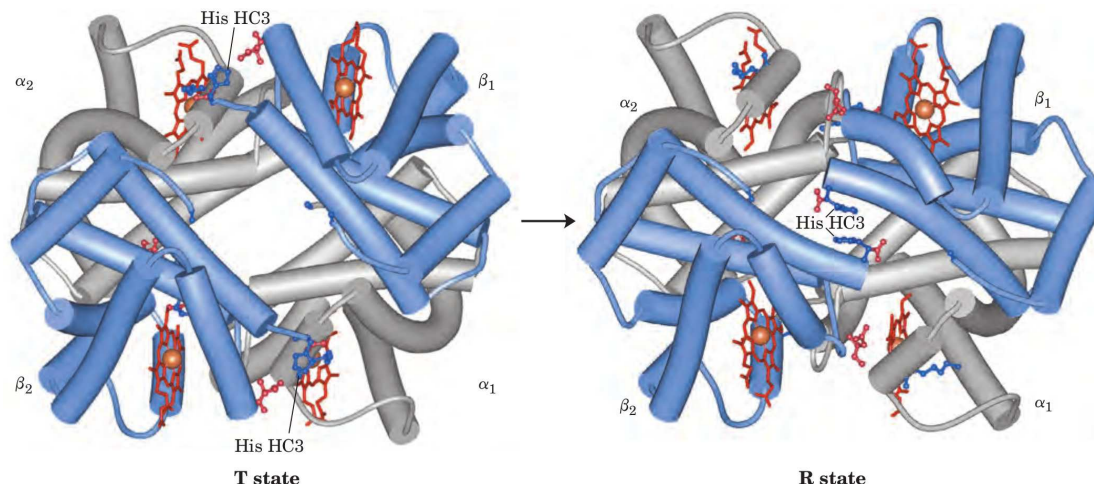


## Diferenças entre Mb e Hb tem origem estrutural

- Para o equilíbrio  $Hb + nO_2 \rightleftharpoons Hb \cdot (O_2)_n$ , temos:

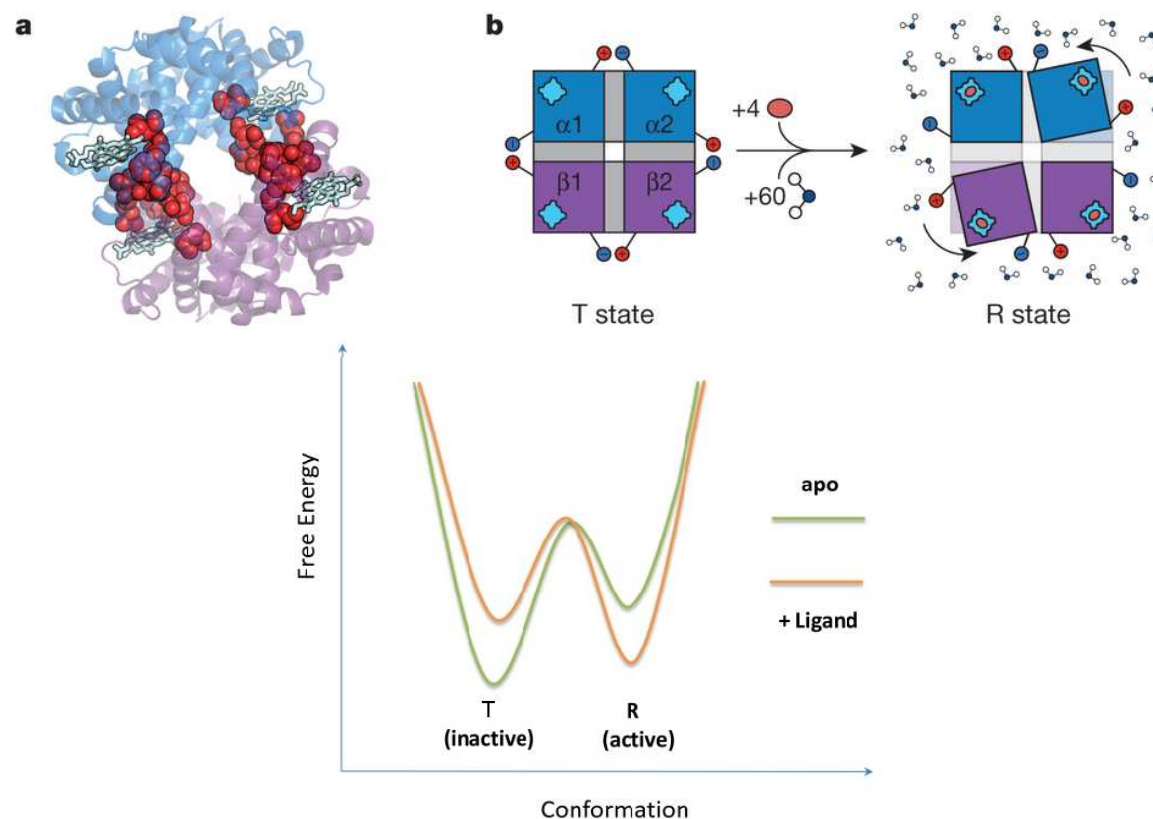
$$K_d = \frac{[Hb][O_2]^n}{[Hb(O_2)_n]} \quad \theta = \frac{[O_2]^k}{[O_2]^k + K_d}$$

- Se  $k = 1$ , temos uma curva hiperbólica  $\rightarrow Mb$ . Se  $1 < k \leq n$ , temos curva sigmoidal  $\rightarrow Hb$  (cooperatividade).
- Hb é um tetrâmero. Transições estruturais explicam curvas sigmoidais. Vejamos sua estrutura 4<sup>a</sup>.



## Alosteria e mudanças estruturais

- Ligação de efetor → mudança estrutural → altera afinidade de outro sítio distante
- Ligante: homo ou heterotrópico



## Alosteria e cooperatividade

- Estados *Tenso* ( $\bigcirc$ , < afinidade) e *Relaxado* ( $>$  afinidade)
- Cooperatividade induzida pela comunicação entre sub-unidades e pelo balanceamento dos equilíbrios acoplados
- Ligação do efetor L desloca os equilíbrios para direita

